

名古屋大学 正会員 川村国夫

1. 予之が子； 軟弱な粘土地盤上の盛土を施工した際、地盤の複雑な挙動を呈する二つは周知である。二つ挙動を解析し、しかも地盤の安定性と結びつけることは非常に重要であるが、かなりあつかい、しかし、2、一般には、盛土は事前設計の段階で得られる土質調査結果に基づき、この時点での最適な設計、施工を求める実施される。しかし、事前設計を求めるために設計、施工は、施工前の情報に基づいていたこと、計算の中の値から構造の不確実性の存在などから、決して破壊をゼロにすることはできない。すなはち、施工中、あるいは施工後に破壊する可能性をも、ということである。このように観察から、最近では施工中の安全性を施工中の観測結果から認識しようとある施工方法が採用されるようになり、たゞ、換言すれば、施工中の観測結果から地盤の破壊を予想しようとする試みがなされるようになり、たゞ、その1つの試みとして、松尾、川村らは過去に施工された軟弱地盤上盛土の実績例を多く集め、図1のような施工管理図を提案した。図1によれば、他の機会で多く発表している。ここでは詳述しない。ところが、図1の中にはこれまで破壊現象を含む管理曲線が、近似的には、等価な安全度の状態において、側方変位量が地盤の強度や厚さ、盛土の形状や幅の関係などほぼ一定の下でいる。しかし、一般論からすれば、この側方変位量は地盤の厚さや盛土幅の影響によることが予想されため、若干の疑問をもつことが指摘されており、たゞ、この矛盾を工学的の検討するには、図1の適用の際には有益であり、また不可欠な問題と考えられる。ただし、上記のように、地盤の挙動を解析することは非常にやかましい課題であるために、精緻な議論はいまだ未だ持てないがなければならない。反面、大掛かりな仮定条件で設計して解析して、側方変位量が、大略、地盤の厚さや盛土幅の影響を受けてないとある議論を得たときには、その考え方の可じ書きが、今後のより現実に近い状況下で用いる解析にして、大切であることは言うに及ばない。以上から、本文は粘土地盤の側方変位量と地盤の厚さや盛土幅の関係と、大掛かりな仮定条件で解析してみると、工学的見地からは、あまり大きな影響を持たないことが予想される解を得たので、その考え方の可じ書きを紹介するものである。

2. 簡単な定性的議論； 本文で行う解析には、以下のよう仮定を用いる。①. 解析は、地盤の側方流動が主目である。すなはち、地盤の安定性は、側方流動との関係によって表現されるものとす。②. 粘土地盤は均質である。③. 図2のように、側方流動がX方向に発生する。④. 盛土荷重による、発生する側圧TはいまY方向で一定とする。⑤. 地盤の側方流動は、あらかじめニュートン流体のように挙動を有し、以上の仮定に基づき、側方流動が持続するといふ ($\frac{d\sigma}{dx} \neq 0$, $\frac{dT}{dx}$; 側方流動の速度) とすれば、図2のエレメントのX方向に開く釣り合の条件は、

$$-(\sigma + \frac{d\sigma}{dx} dx) dz - (-\sigma) dz + (\tau + \frac{dT}{dx} dz) dx - T dz = 0 \quad : \quad \frac{d\sigma}{dx} = \frac{dT}{dz} \quad \text{--- (1)}$$

となる。一方、地盤はあらかじめニュートン流体のように挙動するため、

$$\tau = \gamma \cdot \frac{d\sigma_x}{dx} \quad \text{--- (2)}$$

が表される。ここで、 τ ; 側方剪力、 γ ; 等価粘性率、(1), (2)より

$$\frac{d\sigma}{dx} = \gamma \cdot \frac{d^2\sigma_x}{dx^2} \quad \text{--- (3)}$$

が得られ、($x=0$ のとき, $\sigma_x = T$, $x=0$ のとき, $\sigma_x = 0$) の境界条件で

式(3)を積分すれば、次式が得られる。

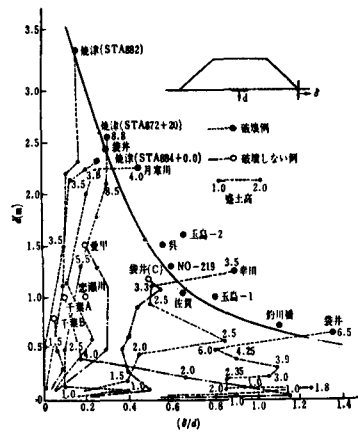


図1 施工管理図

$$\frac{\partial x}{U} = 1 - \left(\frac{z}{D}\right) - \left\{ \frac{D^2}{2U} \left(\frac{d\sigma}{dx} \right) \right\} \left\{ \left(\frac{z}{D}\right) - \left(\frac{z}{D}\right)^2 \right\} \quad \text{--- ④}$$

パラメータ $\left\{ D^2/2U \left(\frac{d\sigma}{dx} \right) \right\}$ に関する X 方向の速度分布が図 3 のネエト Z である。また、X 方向に関する速度が図 4 のネエト Z である。図 3、4 の速度分布は、地盤の側方変位量に関する実験・計算例と比較して定性的に満足できるものであるよう。また、ある深さ $Z' (= z/D)$ における $\Delta x(Z', x, t)$ をもとめると、 $t = t$ における側方変位量 $\hat{\Delta}_{t=t}(Z', x)$ は次式で記述される。

$$\hat{\Delta}_{t=t}(Z', x) = \int_{t=0}^{t=t} \Delta x(Z', x, t) dt = \int_{D=D}^{D=D} \Delta x(Z', x, D) \frac{dt}{dD} \cdot dD \quad \text{--- ⑤}$$

⑤ 式の時間および深さ D の変数交換を計算するため、図 5 みるとよろしく、 $x = x$ 、幅 dx 、深さ D の柱から X 方向に流出する単位時間当りの全土量 $Q(x, D)$ と、そのときの地盤の沈下速度 (dD/dt) の関係が示されている。 $Q(x, D)$ と柱 ($dx \times D$) の体積減少速度が等しいとすれば、

$$\frac{dQ(x, D)}{dx} = - \left(\frac{dD}{dt} \right) \quad \text{--- ⑥}$$

を得らる、盛土の $x=B$ の側方変位量を注目すると、⑥ 式より、

$$Q_{x=B}(D) = - \left(\frac{dD}{dt} \right) \cdot B \quad \text{--- ⑦'}$$

となる。一方、④ 式より、

$$\Delta_{x=B}(D) = \int_0^D \Delta x(Z', x=B, D) dz = \frac{1}{2} UD - \frac{D^3}{12} \left(\frac{d\sigma}{dz} \right) \quad \text{--- ⑦}$$

を得らるるところ、⑥'、⑦' 式より次式が成立する。

$$-\left(\frac{dD}{dt} \right) = \frac{1}{2} UD - \frac{D^3}{12} \left(\frac{d\sigma}{dz} \right) \quad \text{--- ⑧}$$

⑥ 式と⑦' 式を代入し、 $\hat{\Delta}_{t=t}(Z', x=B)$ を計算する。さらに、 $x=B$ における側方変位量の最大値を $\hat{\Delta}_{max}$ とすれど、 $\hat{\Delta}_{max}$ は次式によると予測される。

$$\hat{\Delta}_{max} = \frac{B}{3} \frac{\ln \left| \frac{D}{D} \left[1 - \left\{ \frac{(d\sigma/dz)}{64U/D^2} \right\} \right] \right|^2}{\ln \left| \frac{1 - \left\{ (d\sigma/dz) / 64U/D^2 \right\} D^2}{1 - \left\{ (d\sigma/dz) / 64U/D^2 \right\}} \right|} \approx \frac{3}{2} B \ln \left| \frac{D}{D} \right| \quad \text{--- ⑨}$$

簡便に、 $\hat{\Delta}_{max}$ は B と (D/U) の比を表わす。ここで、実際の地盤の荷重は定性的に考えよう。 B が D/U よりかなり大きい条件下 (盛土高 H_1) では、X 方向に関する地盤の拘束圧の変化が本質的 ($(d\sigma/dz)$; すな) ことから、側方流動による沈下量 Δ ($= D - D$) は相対的に小さな値が予想される。これに対して、 B が D/U と等しい状態に近づくにつれて、あるいは本質的なことから、

条件によっては、等価な安全率をもつ盛土の H_2 (盛土高 H_2)、勿論、 $H_1 > H_2$ が成立するが、この場合、地盤の拘束圧の変化が前者よりも大きい ($(d\sigma/dz)$; 大) ことから、側方流動による沈下量 Δ が d より大きくなる。これが、すなよろしく関係を、いま (D/U) と B との間の関係をすれば、図 6 のように幾何学的表現が可能である。大きな誤りはないであろう。すなわち、

が成立し、⑩ 式を⑨ 式に代入すれば $\hat{\Delta}_{max}$ は

近似的に一定となり、等価な安全率の概念では、 B 、 D/U が子影響を及ぼすと想えよう。

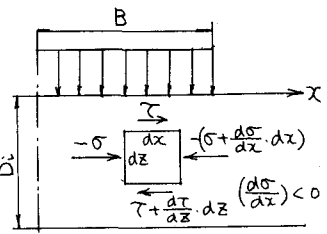


図 2

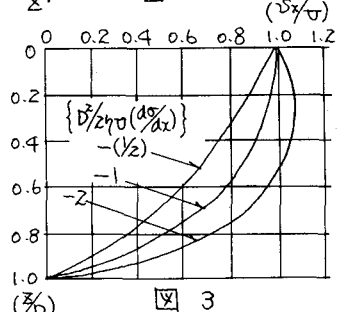


図 3

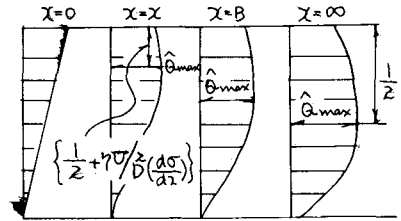


図 4

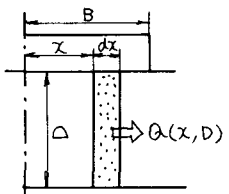


図 5

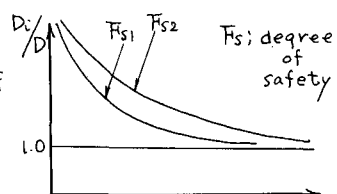


図 6